

Институт электросварки им. Е. О. Патона
АН УССР
Киев

Поступило в Редакцию
16 апреля 1987 г.

УДК 532.68

Журнал технической физики, т. 58, в. 5, 1988

КАПИЛЛЯРНО-ГРАВИТАЦИОННАЯ НЕУСТОЙЧИВОСТЬ ДВИЖЕНИЯ ЖИДКОСТИ ПРИ НЕПРЕРЫВНОМ ЛАЗЕРНОМ НАГРЕВЕ

С. А. Визюк, А. Т. Суходольский

В последние годы все больший интерес вызывают исследования процессов самоорганизации в открытых системах [1]. Классическим примером по наблюдению процессов самоорганизации стали опыты Бенара [2]. Имеется большое количество работ по теории бенаровской неустойчивости жидкости, начало которым положила работа Рэлея [3]. Появление пространственной периодической структуры в жидкости связывалось с минимальным критическим числом Рэлея, характеризующим условия, при которых жидкость из состояния покоя переходит в движение. Такой переход возможен только при пространственно-однородном в горизонтальной плоскости нагреве [4]. В дальнейшем было показано, что для интерпретации опытов Бенара необходимо привлекать капиллярные силы, связанные с градиентом поверхностного натяжения [5].

В данной работе сообщается о наблюдении нового типа неустойчивости слоя жидкости, возникающей при непрерывном лазерном нагреве, которая приводит к упорядоченному во времени периодическому движению жидкости. Интерпретация эксперимента дается на основе модели диссипативной структуры — «циркулятора», введенной для описания динамики лазерного нагрева, теплопередачи и движения жидкости под действием гравитационных и капиллярных сил.

Эксперимент проводился с использованием многомодового излучения аргонового лазера ЛГН-404А с мощностью излучения до 1 Вт. Лазерное излучение направлялось снизу на чашку Петри с поглощающей жидкостью через линзу с фокусным расстоянием ~ 15 см.

Рис. 1. Временная зависимость сигнала, зарегистрированного фотодиодом в прошедшем свете, иллюстрирующая регулярность процессов массопереноса в жидкости.

В качестве поглощающих веществ использовались различные маслоподобные жидкости: гипоидное и трансформаторное масла с коэффициентами поглощения $4-7 \text{ см}^{-1}$ на длине волн аргонового лазера. Под действием лазерного нагрева возникали объемная и поверхностная капиллярная термоЛинзы, что приводило к значительной дефокусировке лазерного излучения. Движение жидкости наблюдалось в микроскоп, для чего в нее вводились частицы алюминиевой пудры. Для исследования временной динамики проходящего через слой жидкости излучения применялся фотодиод с диафрагмой, помещенный в конус прошедшего лазерного излучения, сигнал с которого подавался на самописец и частотомер.

Проявление неустойчивости движения жидкости состояло в том, что при некотором пороговом значении толщины слоя (и/или мощности накачки) движение от стационарного переходило в упорядоченный периодический режим. На рис. 1 представлена типичная временная зависимость оптического сигнала, регистрируемого фотодиодом, а в таблице — измеренная зависимость частоты периодического движения от толщины слоя жидкости. Следует заметить, что измеренная стабильность частоты при фиксированных условиях эксперимента составляла величину не хуже 5 %, а колебательный процесс носил характер, присущий нелинейным колебаниям [1].

Эксперимент интерпретируется на основе модели диссипативной структуры — «циркулятора», описывающей основные составляющие тепло- и массопереноса под действием гра-

витационных и термокапиллярных механизмов без полного решения задачи, которое связано со значительными математическими трудностями. В основу рассмотрения положена модель неразрывной трубки тока конечной длины и радиусом r с постоянной по всей длине в данный момент времени скоростью v . К вертикальной части трубки длиной L_1 приложена гравитационная архимедова сила, которая пропорциональна интегралу температуры по вертикали

$$F_a = C_4 \int_0^{L_1} T dz.$$

На горизонтальную часть трубки, которая соответствует ее движению по поверхности, действует сила Марангони, пропорциональная разности температур в точке выхода струи на поверхность и на краю

$$F_M = C_5 (T_2 - T_3).$$

На трубку также действует ньютоновская сила трения

$$F_t = -C_6 v.$$

Если к «механической» части задачи добавить уравнение теплового баланса, которое учитывает непрерывный нагрев снизу, конвективный перенос тепла и теплоотдачу в окружающую среду, то получим исходную систему уравнений

$$\frac{\partial T}{\partial t} = C_1 e^{-c_2 z} - v \frac{\partial T}{\partial z} - C_3 T, \quad (1)$$

$$\frac{\partial v}{\partial t} = C_4 \int_0^{L_1} T dz + C_5 (T_2 - T_3) - C_6 v, \quad (2)$$

где

$$C_1 e^{-c_2 z} C_p \sigma \pi r^2$$

Толщина, мм	Частота, Гц	Толщина, мм	Частота, Гц
2.8	2.1	5.3	0.7
3.1	1.8	6.0	0.65
3.5	1.3	6.3	0.63
4.2	1.0	7.7	0.6

— мощность источников тепла на единицу длины трубы, $-C_3 T$ — теплопотери в окружающий объем. Для коэффициентов в (1) и (2) имеем оценки (в системе СИ)

$$C_1 \sim \frac{I_0}{a C_p \rho} \sim 10^2, \quad C_2 \sim \frac{1}{a} \sim 10^3, \quad C_3 \sim \frac{\chi}{R^3} \sim 1 \div 10, \quad C_4 \sim \frac{93}{L_1} \sim 0.1 \div 10,$$

$$C_5 \sim \frac{\alpha \sigma R}{L \rho r^2}, \quad C_6 \sim \frac{\nu}{r^2} \sim 1 \div 10,$$

где I_0 — плотность мощности лазерного излучения; $1/a$ — коэффициент поглощения; C_p — теплоемкость; ρ — плотность; χ — температуропроводность; $\beta = -\frac{1}{\rho} \partial \rho / \partial T$; σ — коэффициент поверхностного натяжения; $\alpha = -\frac{1}{\sigma} \partial z / \partial T$; L — характерная длина трубы тока; r — ее поперечный радиус; R — характерный размер, определяющий теплоотвод в стороны от трубы тока; ν — динамическая вязкость.

Решение уравнений (1) и (2) производилось на ЭВМ методом Рунге—Кутта четвертого порядка, весь активный участок трубы от T_1 до T_3 разбивался на 19 зон, при этом температурам T_1 , T_2 и T_3 соответствовали температуры 1, 10 и 19 зон. На рис. 2 даны зависимость рассчитанной скорости движения от времени, а также фазовая диаграмма v от T_2 . Видно, что решение (1) и (2) выходит на устойчивый цикл, что подтверждалось подбором достаточно произвольных начальных условий.

Если сравнить результаты эксперимента и расчета, то видно, что введенная нами модель, которая отображает основные механизмы, отвечающие за движение жидкости, достаточно хорошо описывает эксперимент (ср. рис. 1 и кривую a на рис. 2). Сущность процесса упорядочения движения жидкости качественно можно проследить на фазовой диаграмме рис. 2. Начальная фаза движения 1—2 связана с ростом скорости и температуры на поверхности при совместном действии гравитационных и капиллярных сил. На участке 2—3 происходит резкое падение температуры поверхности в центре за счет выноса на поверхность из глубины жидкости, которая не успевает нагреться. Участок 3—4 обусловлен сменой знака силы Марангони, которая тормозит жидкость и меняет направление ее движения.

Получим условия, необходимые для возникновения неустойчивости. Полагая скорость, как и ранее, постоянной вдоль всей трубы тока, мы можем записать уравнения для развития начальных флуктуаций скорости и температуры на поверхности

$$\frac{\partial v}{\partial t} = \frac{c\alpha R}{L\rho r^2} T_2 - \frac{\gamma}{r^2} v,$$

$$\frac{\partial T_2}{\partial t} = -(\nabla T)_0 v - \frac{\gamma}{R^2} T_2,$$

где $(\nabla T)_0$ — вертикальный градиент температуры в точке выхода струи на поверхность при стационарном течении. Отсюда получаем условие возрастания начальных флуктуаций

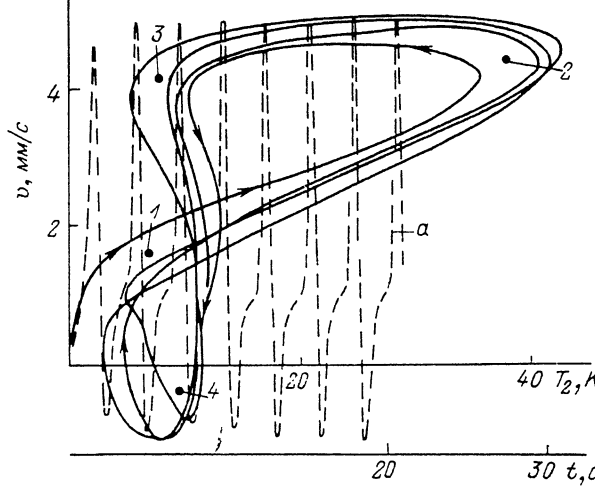


Рис. 2. Временная зависимость скорости движения трубы тока (a) и диаграмма $v(T_2)$, полученные решением уравнений (1)–(2) при следующем значениях параметров данных в системе СИ: $C_1=200$, $C_2=2 \cdot 10^3$, $C_3=0.7$, $C_4=0.1$, $C_5=0.5 \cdot 10^{-3}$, $C_6=4$.

$$(\nabla T)_0 < -\frac{\eta\chi L}{c\alpha R^3}, \quad (3)$$

которое можно переписать, вводя число Марангони B [4], в виде

$$B > L^3/R^3.$$

Следовательно, для наблюдения неустойчивости, суть которой состоит в лавинообразном возрастании скорости движения в условиях, когда поступление тепла с током жидкости из объема на поверхность превышает потери тепла за счет теплопроводности в окружающую среду, необходимо выбрать жидкость и геометрию опыта из условия (3).

В заключение отметим, что обнаруженный экспериментально новый вид неустойчивости жидкости и представленная для ее интерпретации модель «циркулятора» могут служить новым примером структуры в синергетике [6].

Авторы выражают благодарность П. П. Пашинину за полезное обсуждение результатов работы.

Литература

- [1] Эбелинг В. Образование структур при необратимых процессах. М.: Мир, 1979. 279 с.
- [2] Benard H. Revue generale des Sciences, pures et appliquees, 1900, N 12, p. 1261–1309.
- [3] Rayleigh Phil. Mag., 1916, v. 6, N 32, p. 529–534.
- [4] Гершунин Г. З., Жуховицкий Е. М. Конвективная устойчивость несжимаемой жидкости. М.: Наука, 1972. 329 с.
- [5] Pearson J. K. A. J. Fluid Mech., 1958, v. 4, N 6, p. 489–453.
- [6] Хакен Г. Синергетика. М.: Мир, 1979. 174 с.

Институт общей физики
АН СССР
Москва

Поступило в Редакцию
23 апреля 1987 г.
В окончательной редакции
2 октября 1987 г.